

НАПРЯЖЕННОЕ СОСТОЯНИЕ ТРАНСВЕРСАЛЬНО-ИЗОТРОПНОЙ
ПОЛОГОЙ СФЕРИЧЕСКОЙ ОБОЛОЧКИ С ТРЕЩИНОЙ

В. А. ОСАДЧУК, Е. М. ФЕДЮК

(Львов)

Предложен способ сведения задачи о напряженном состоянии трансверсально-изотропной (с конечной сдвиговой жесткостью) пологой сферической оболочки с прямолинейной в плане трещиной к решению системы сингулярных интегральных уравнений. Приведено решение этих уравнений в случае симметричной относительно линии трещины нагрузки, а также получены формулы для определения коэффициентов интенсивности. В качестве примера проведено исследование задачи о напряженном состоянии трансверсально-изотропной бесконечной пластинки с трещиной. Для конкретных значений параметра сдвиговой податливости E/G' приведены графики изменения коэффициента интенсивности изгибающих напряжений в зависимости от величины $\lambda=l/h$, где l и h — полудлина трещины и полутолщина пластинки соответственно.

1. Представим компоненты тензора $\{e_{ij}\}$ геометрически малой деформации в виде [1]:

$$e_{ij} = e_{ij}^{(s)} + e_{ij}^{\circ}, \quad e_{zz} = 0 \quad (i, j = X, Y, Z) \quad (1.1)$$

где $e_{ij}^{(s)}$ — компоненты тензора упругой деформации, e_{ij}° — компоненты тензора дисторсии.

Используя соответствующие соотношения теории оболочек с конечной сдвиговой жесткостью [2], для пологой сферической оболочки получим систему разрешающих уравнений относительно функций напряжений F , прогибов w и углов поворота ψ

$$\frac{R}{D_0} \nabla^2 \nabla^2 F - \nabla^2 w = -R F_1^{\circ}(X, Y)$$

$$D_1 \nabla^2 \nabla^2 w + \frac{1}{R} (1 - \varepsilon \nabla^2) \nabla^2 F = D_1 F_2^{\circ}(X, Y) \quad (1.2)$$

$$\nabla^2 \psi - k^2 \psi = F_3^{\circ}(X, Y)$$

$$F_1^{\circ} = \nabla^2 \varepsilon_{22}^{\circ} + \partial_2^2 (\varepsilon_{11}^{\circ} - \varepsilon_{22}^{\circ}) - \partial_1 \partial_2 \varepsilon_{12}^{\circ}, \quad F_2^{\circ} = \nabla^2 (\partial_1 \varepsilon_{13}^{\circ} + \partial_2 \varepsilon_{23}^{\circ}) - \nabla^2 (\kappa_{11}^{\circ} + \nu \kappa_{22}^{\circ}) + (1 - \nu) [\partial_2^2 (\kappa_{11}^{\circ} - \kappa_{22}^{\circ}) - 2 \partial_1 \partial_2 \kappa_{12}^{\circ}]$$

$$F_3^{\circ} = \frac{2}{k^2} [\partial_1 \partial_2 (\kappa_{11}^{\circ} - \kappa_{22}^{\circ}) + (\partial_2^2 - \partial_1^2) \kappa_{12}^{\circ}] - \partial_2 \varepsilon_{13}^{\circ} + \partial_1 \varepsilon_{23}^{\circ}$$

$$\nabla^2 = \partial_1^2 + \partial_2^2, \quad \partial_1 = \frac{\partial}{\partial X}, \quad \partial_2 = \frac{\partial}{\partial Y}, \quad k^2 = \frac{2}{\varepsilon(1-\nu)}$$

$$\varepsilon = \frac{h^2}{3k'(1-\nu^2)} \frac{E}{G'}, \quad D_0 = 2Eh, \quad D_1 = \frac{2Eh^3}{3(1-\nu^2)}$$

где ε_{ij}° , κ_{ij}° — осредненные по толщине оболочки компоненты тензора дилатации [2], E и ν — модуль упругости и коэффициент Пуассона в срединной поверхности (поверхности изотропии), G' — модуль сдвига в площадках, перпендикулярных к срединной поверхности, k' — коэффициент сдвига, R и $2h$ — соответственно радиус срединной поверхности и толщина оболочки, X, Y, Z — декартовы прямоугольные координаты.

При этом, используя также соотношения, связывающие компоненты полной деформации срединной поверхности оболочки с обобщенными перемещениями

$$\begin{aligned} \varepsilon_{11} &= \partial_1 u + \frac{w}{R}, & \varepsilon_{12} &= \partial_2 u + \partial_1 v, & \varepsilon_{22} &= \partial_2 v + \frac{w}{R} \\ \varepsilon_{13} &= \gamma_1 + \partial_1 w, & \varepsilon_{23} &= \gamma_2 + \partial_2 w, & \kappa_{11} &= \partial_1 \gamma_1 \\ 2\kappa_{12} &= \partial_2 \gamma_1 + \partial_1 \gamma_2, & \kappa_{22} &= \partial_2 \gamma_2 \end{aligned} \quad (1.3)$$

для определения усилий и моментов получим следующие выражения:

$$\begin{aligned} N_1 &= \partial_2^2 F, & N_2 &= \partial_1^2 F, & S &= -\partial_1 \partial_2 F \\ M_1 &= D_1 [\partial_1 \gamma_1 + \nu \partial_2 \gamma_2 - (\kappa_{11}^\circ + \nu \kappa_{22}^\circ)] \\ M_2 &= D_1 [\partial_2 \gamma_2 + \nu \partial_1 \gamma_1 - (\kappa_{22}^\circ + \nu \kappa_{11}^\circ)] \\ H &= \frac{1-\nu}{2} D_1 (\partial_2 \gamma_1 + \partial_1 \gamma_2 - 2\kappa_{12}^\circ) \end{aligned} \quad (1.4)$$

$$Q_{13} = \frac{D}{\varepsilon} (\gamma_1 + \partial_1 w - \varepsilon_{13}^\circ), \quad Q_{23} = \frac{D_1}{\varepsilon} (\gamma_2 + \partial_2 w - \varepsilon_{23}^\circ)$$

$$\gamma_1 = \partial_2 \left(\psi - \frac{2}{k^2} \kappa_{12}^\circ \right) - \partial_1 w + \varepsilon_{13}^\circ - \varepsilon \partial_1 (\Phi + \kappa_{11}^\circ + \nu \kappa_{22}^\circ)$$

$$\gamma_2 = -\partial_1 \left(\psi + \frac{2}{k^2} \kappa_{12}^\circ \right) - \partial_2 w + \varepsilon_{23}^\circ - \varepsilon \partial_2 (\Phi + \kappa_{22}^\circ + \nu \kappa_{11}^\circ)$$

$$\Phi = \nabla^2 \left(w - \frac{\varepsilon}{RD_1} F \right) - \partial_1 \varepsilon_{13}^\circ - \partial_2 \varepsilon_{23}^\circ$$

Первые два уравнения системы (1.2) приведем к одному разрешающему уравнению для определения функции напряжений F и соотношению для определения прогиба w :

$$\nabla^2 (\nabla^2 \nabla^2 - \varepsilon p \nabla^2 + p) F = D_0 \left[\frac{1}{R} F_2^\circ(X, Y) - \nabla^2 F_1^\circ(X, Y) \right] \quad (1.5)$$

$$w = \frac{R}{D_0} \nabla^2 F + w^*, \quad p = \frac{D_0}{D_1 R^2}$$

Здесь w^* — функция, удовлетворяющая уравнению $\nabla^2 w^* = R F_1^\circ(X, Y)$.

Используя интегральное преобразование Фурье, фундаментальные решения F_0 и ψ_0 уравнений

$$\nabla^2 (\nabla^2 \nabla^2 - \varepsilon p \nabla^2 + p) F_0 = \delta(X) \delta(Y), \quad (\nabla^2 - k^2) \psi_0 = \delta(X) \delta(Y) \quad (1.6)$$

получим в виде

$$\psi_0 = -\frac{1}{2\pi} K_0(kr)$$

$$F_0 = \frac{1}{2\pi p} \left\{ \ln r + \frac{1}{2a} [\delta_2^2 K_0(\delta_1 r) - \delta_1^2 K_0(\delta_2 r)] \right\} \quad \text{при } b^2 > p \quad (1.7)$$

$$F_0 = \frac{1}{2\pi p} \left\{ \ln r + \frac{1}{2a} [b\Phi_1(r) + a\Phi_2(r)] \right\} \quad \text{при } b^2 < p$$

$$F_0 = \frac{1}{2\pi p} \left[\ln r + K_0(\sqrt{br}) - \frac{\sqrt{br}}{2} K_0'(\sqrt{br}) \right] \quad \text{при } b^2 = p$$

$$\Phi_1 = -i[K_0(\delta_1 r) - K_0(\delta_2 r)], \quad \Phi_2 = K_0(\delta_1 r) + K_0(\delta_2 r)$$

$$\delta_1^2 = b - a, \quad \delta_2^2 = b + a, \quad a = \sqrt{b^2 - p} \quad \text{при } b^2 > p$$

$$\delta_1^2 = b - ia, \quad \delta_2^2 = b + ia, \quad a = \sqrt{p - b^2} \quad \text{при } b^2 < p$$

$$K_0'(z) = \frac{d}{dz} K_0(z), \quad b = \frac{\varepsilon p}{2}, \quad r^2 = X^2 + Y^2, \quad i = \sqrt{-1}$$

где $\delta(z)$ и $K_0(z)$ — соответственно функции Дирака и Макдональда.

2. Рассмотрим «бесконечную» трансверсально-изотропную полую сферическую оболочку с трещиной длины $2l$, расположенной вдоль меридиана, берега которой загружены самоуравновешивающимися усилиями и моментами. Отнесем оболочку к декартовой прямоугольной системе координат XOY , начало которой совпадает с серединой трещины, а ось OX — с линией трещины. Для рассматриваемой оболочки с трещиной $Y=0, |X| \leq l$, учитывая соотношения (1.3) и (1.4), а также следующие выражения для усилий:

$$N_2 = \frac{D_0}{1-\nu^2} [\varepsilon_{22} + \nu \varepsilon_{11} - (\varepsilon_{22}^\circ + \nu \varepsilon_{11}^\circ)], \quad S = \frac{D_0}{2(1+\nu)} (\varepsilon_{12} - \varepsilon_{12}^\circ) \quad (2.1)$$

поле дисторсий, характеризующее скачки перемещений и углов поворота на линии трещины, запишем в виде

$$\begin{aligned} \varepsilon_{22}^\circ(x, y) &= \varepsilon_2(x) \delta(y), & \varepsilon_{12}^\circ(x, y) &= \varepsilon_3(x) \delta(y), & \varepsilon_{23}^\circ(x, y) &= \varepsilon_4(x) \delta(y) \\ \kappa_{22}^\circ(x, y) &= \kappa_2(x) \delta(y), & \kappa_{12}^\circ(x, y) &= \kappa_3(x) \delta(y) \quad \text{при } |x| < 1 \end{aligned} \quad (2.2)$$

$$\varepsilon_{22}^\circ(x, y) = \varepsilon_{12}^\circ(x, y) = \varepsilon_{23}^\circ(x, y) = \kappa_{22}^\circ(x, y) = \kappa_{12}^\circ(x, y) = 0 \quad \text{при } |x| \geq 1$$

$$\varepsilon_{11}^\circ(x, y) = \varepsilon_{13}^\circ(x, y) = \kappa_{11}^\circ(x, y) = 0 \quad \text{при всех } x$$

$$\varepsilon_2(x) = \frac{1}{l} (\nu^+ - \nu^-), \quad \varepsilon_3(x) = \frac{1}{l} (u^+ - u^-), \quad \varepsilon_4(x) = \frac{1}{l} (w^+ - w^-)$$

$$\kappa_2(x) = \frac{1}{l} (\gamma_2^+ - \gamma_2^-), \quad 2\kappa_3(x) = \frac{1}{l} (\gamma_1^+ - \gamma_1^-), \quad x = \frac{X}{l}, \quad y = \frac{Y}{l}$$

где знаками плюс и минус обозначены граничные значения соответствующей величины слева и справа от линии трещины.

Подставляя соотношения (2.2) в третье уравнение системы (1.2), а также в уравнения (1.5), на основании фундаментального решения (1.7) для разрешающих функций F, w и ψ получим выражения

$$\begin{aligned} \Omega_i(x, y) &= \frac{t_i}{4\pi a_j} \int_{-1}^1 \left\{ \varepsilon_2(\xi) F_i(x - \xi, y) + \varepsilon_3(\xi) F_{i+2}(x - \xi, y) + \right. \\ &+ \frac{1}{Rd} [\varepsilon_4(\xi) \varphi_i(x - \xi, y) + \kappa_2(\xi) \varphi_{i+2}(x - \xi, y) + \\ &\left. + 2\mu \kappa_3(\xi) \varphi_{i+4}(x - \xi, y) \right\} d\xi \quad (i=1,2; j=1,2,3) \end{aligned} \quad (2.3)$$

$$\psi(x, y) = -\frac{l^2}{\pi} \int_{-1}^1 [\varepsilon_4(\xi) \psi_1(x-\xi, y) + \kappa_2(\xi) \psi_2(x-\xi, y) + \kappa_3(\xi) \psi_3(x-\xi, y)] d\xi$$

$$F_1 = -r_1 \frac{y^2}{\rho^2} + r_2 - r_3, \quad F_2 = s_1 \frac{y^2}{\rho^2} - s_2 - s_6, \quad F_3 = -r_1 \frac{yz}{\rho^2}, \quad F_4 = s_1 \frac{yz}{\rho^2}$$

$$\varphi_1 = \sqrt{d} r_4 \frac{y}{\rho}, \quad \varphi_2 = \sqrt{d} r_5 \frac{y}{\rho}, \quad \varphi_3 = \mu \left(s_3 \frac{y^2}{\rho^2} - s_4 \right) - \nu s_5$$

$$\varphi_4 = -\mu F_1 - r_3, \quad \varphi_5 = -F_3, \quad \varphi_6 = s_3 \frac{yz}{\rho^2}$$

$$\psi_1 = \frac{k}{2} K_0'(\eta) \frac{z}{\rho}, \quad \psi_2 = L \frac{yz}{\rho^2}, \quad \psi_3 = L \frac{z^2 - y^2}{\rho^2}, \quad r_1 = 2r_2 - r_3$$

$$s_1 = 2s_2 + s_6, \quad s_2 = \frac{2a_j}{\lambda^2 \rho^2} - \frac{r_5}{\lambda \rho}, \quad s_3 = 2s_4 - s_5, \quad s_4 = \frac{2a_j}{\lambda^2 \rho^2} + \frac{r_6}{\lambda \rho}$$

$$L = \frac{2}{\eta} K_0'(\eta) - K_0(\eta), \quad \eta = lk\rho, \quad z = x - \xi, \quad \rho^2 = y^2 + z^2, \quad \Omega_1 = F, \quad \Omega_2 = w$$

$$\xi_1 = \delta_1 \lambda \rho, \quad \xi_2 = \delta_2 \lambda \rho, \quad \lambda^4 = l^4 p, \quad \sqrt{p} = d = \frac{2b}{\varepsilon}, \quad t_1 = D_0 l^2, \quad t_2 = R \lambda^2, \quad \mu = 1 - \nu$$

где при $b^2 > 1$ имеем

$$r_2 = \omega_3 / \lambda \rho, \quad r_3 = \omega_2, \quad r_4 = \omega_3, \quad r_5 = \omega_5, \quad r_6 = \omega_4$$

$$s_5 = \omega_1, \quad s_6 = \omega_6, \quad \omega_1 = K_0(\xi_1) - K_0(\xi_2), \quad \omega_2 = \delta_1^2 K_0(\xi_1) - \delta_2^2 K_0(\xi_2)$$

$$\omega_3 = \delta_1 K_0'(\xi_1) - \delta_2 K_0'(\xi_2), \quad \omega_4 = \delta_1 \delta_2^2 K_0'(\xi_1) - \delta_1^2 \delta_2 K_0'(\xi_2), \quad \omega_5 = \delta_1^3 K_0'(\xi_1) - \delta_2^3 K_0'(\xi_2)$$

$$\omega_6 = \delta_1^4 K_0(\xi_1) - \delta_2^4 K_0(\xi_2), \quad \delta_1^2 = b - a, \quad \delta_2^2 = b + a, \quad a_1 = a = \sqrt{b^2 - 1}$$

при $b^2 < 1$

$$r_2 = \frac{\Phi_3}{\lambda \rho}, \quad r_3 = b \Phi_1 - a \Phi_2, \quad r_4 = \Phi_3, \quad r_5 = b \Phi_3 - a \Phi_4, \quad r_6 = b \Phi_3 + a \Phi_4$$

$$s_5 = \Phi_1, \quad s_6 = (b^2 - a^2) \Phi_1 - 2ab \Phi_2, \quad \Phi_1 = -i[K_0(\xi_1) - K_0(\xi_2)]$$

$$\Phi_2 = K_0(\xi_1) + K_0(\xi_2), \quad \Phi_3(z) = \frac{d}{dz} \Phi_1(z), \quad \Phi_4(z) = \frac{d}{dz} \Phi_2(z)$$

$$\delta_1^2 = b - ia, \quad \delta_2^2 = b + ia, \quad a_2 = a = \sqrt{1 - b^2}$$

при $b^2 = 1$

$$r_2 = -K_0(\lambda \rho), \quad r_3 = s_5 + 2r_2, \quad r_4 = -\lambda \rho K_0(\lambda \rho), \quad r_5 = -2K_0'(\lambda \rho) + r_4$$

$$r_6 = 2K_0'(\lambda \rho) + r_4, \quad s_5 = -\lambda \rho K_0'(\lambda \rho), \quad s_6 = 4r_2 + s_5, \quad a_3 = 1$$

На основании найденных разрешающих функций (2.3) и выражений (1.4) получим формулы для определения затухающих на «бесконечности» усилий и моментов в произвольной точке оболочки, обусловленных полем (2.2).

Условия на контуре трещины запишем так:

$$N_2(x, 0) = f_1(x), \quad S(x, 0) = f_2(x), \quad M_2(x, 0) = f_3(x)$$

$$H(x, 0) = f_4(x), \quad Q_{23}(x, 0) = f_5(x) \quad \text{при } |x| \leq 1 \quad (2.4)$$

где N_2 , S , Q_{23} — соответственно нормальное, касательное и перерезывающее усилия, а M_2 и H — изгибающий и крутящий моменты, определяемые на контуре трещины как сумма усилий и моментов, вызванных полем (2.2) и соответствующих усилий и моментов в оболочке без трещины.

Удовлетворяя граничным условиям (2.4), для определения функций $\varepsilon_2(x)$, $\varepsilon_3(x)$, $\varepsilon_4(x)$, $\varkappa_2(x)$ и $\varkappa_3(x)$ в случае свободных берегов трещины $f_i(x)=0$ ($i=1-5$) получим систему сингулярных интегральных уравнений:

при симметричной относительно линии трещины нагрузке

$$\sum_{k=1,3} \int_{-1}^1 \Psi_k(\xi) L_{ik}(x-\xi) d\xi = f_{i0}(x), \quad |x| < 1 \quad (i=1,3) \quad (2.5)$$

при антисимметричной нагрузке

$$\sum_{k=2,4,5} \int_{-1}^1 \Psi_k(\xi) L_{ik}(x-\xi) d\xi = f_{i0}(x), \quad |x| < 1 \quad (i=2,4,5) \quad (2.6)$$

$$\Psi_1(\xi) = \frac{d}{d\xi} \varepsilon_2(\xi), \quad \Psi_2(\xi) = \frac{d}{d\xi} \varepsilon_3(\xi), \quad \Psi_3(\xi) = Rc \frac{d}{d\xi} \varkappa_2(\xi)$$

$$\Psi_4(\xi) = 2Rc \frac{d}{d\xi} \varkappa_3(\xi), \quad \Psi_5(\xi) = \frac{l}{R} \frac{d}{d\xi} \varepsilon_4(\xi), \quad L_{11} = \frac{a_j}{z} + L_{11}^\circ$$

$$L_{13} = L_{31} = K_{13}, \quad L_{33} = \frac{(1-\nu^2)a_j}{z} + L_{33}^\circ, \quad L_{11}^\circ = K_{11} - \frac{a_j}{z}$$

$$L_{33}^\circ = K_{33} - \frac{(1-\nu^2)a_j}{z}, \quad L_{22} = \frac{a_j}{z} - L_{22}^\circ, \quad L_{24} = L_{42} = \mu L_{24}^\circ$$

$$L_{25} = -\frac{1}{\lambda^2} L_{52} = L_{25}^\circ, \quad L_{44} = \frac{(1-\nu^2)a_j}{z} - L_{44}^\circ, \quad L_{45} = -\frac{1}{\lambda^2} L_{54} = -L_{45}^\circ$$

$$L_{55} = p_1 \left(\frac{1}{z} + L_{55}^\circ \right), \quad L_{44}^\circ = K_{44}^\circ - 4\mu a_j (L_1 + L_2), \quad L_{45}^\circ = \mu K_{45}^\circ - p_1 L_3$$

$$L_{55}^\circ = \frac{1}{p_1} K_{55}^\circ - L_4, \quad L_1 = \left[\frac{2}{\eta^2} + \frac{2}{\eta} K_0'(\eta) - K_0(\eta) - \frac{1}{2} \right] \frac{1}{z}$$

$$L_2 = \frac{l^2 k^2}{4} \int_0^z K_0(\eta) dz, \quad L_3 = \frac{2}{\eta^2} + \frac{2}{\eta} K_0'(\eta) - K_0(\eta), \quad L_4 = [1 + \eta K_0'(\eta)] \frac{1}{z}$$

$$\eta = lk|z|, \quad p_1 = \frac{2a_j}{\varepsilon} R^2 c, \quad c^2 = \frac{h^2}{3(1-\nu^2)R^2}$$

$$f_{10}(x) = qN_{20}(x, 0), \quad f_{20}(x) = qS_0(x, 0), \quad f_{30}(x) = \frac{q}{Rc} M_{20}(x, 0)$$

$$f_{40}(x) = \frac{q}{Rc} H_0(x, 0), \quad f_{50}(x) = \frac{q}{Rc} Q_{230}(x, 0), \quad q = \frac{4\pi a_j}{D_0}, \quad z = x - \xi$$

где N_{20} , S_0 , Q_{230} — соответственно нормальное, касательное и перерезывающее усилия, а M_{20} и H_0 — изгибающий и крутящий моменты на линии $y=0$, $|x| \leq 1$, вызванные внешней нагрузкой в оболочке без трещины, c_0 — постоянная интегрирования. В зависимости от величины b^2 будем иметь:

при $b^2 > 1$

$$L_{22}^\circ = \left(\frac{2\omega_3}{\tau} - \omega_3 + a \right) \frac{1}{z}, \quad L_{24}^\circ = \left(\frac{4a}{\tau^2} + \frac{2\omega_4}{\tau} - \omega_1 \right) \frac{1}{z}$$

$$L_{25}^\circ = \frac{\omega_3}{\tau}, \quad K_{44}^\circ = \left[\frac{8ab}{\tau^2} + \frac{2(2b\omega_4 - \omega_3)}{\tau} - (2b\omega_1 - \omega_2) - a \right] \frac{1}{z}$$

$$K_{45}^\circ = \frac{2a}{\tau^2} + \frac{\omega_4}{\tau}, \quad K_{55}^\circ = \frac{\tau}{z} \omega_3 - \lambda^2 \int_0^z \omega_2 dz$$

$$\xi_1 = \delta_1 \tau, \quad \xi_2 = \delta_2 \tau, \quad \tau = \lambda |z|, \quad a_1 = a = \sqrt{b^2 - 1}$$

при $b^2 < 1$

$$L_{22}^\circ = \left(\frac{2}{\tau} \Phi_3 + a \Phi_2 - b \Phi_1 + a \right) \frac{1}{z}, \quad L_{24}^\circ = \left[\frac{4a}{\tau^2} + \frac{2}{\tau} (b \Phi_3 + a \Phi_4) - \Phi_1 \right] \frac{1}{z}, \quad L_{25}^\circ = \frac{\Phi_3}{\tau}$$

$$K_{44}^\circ = \left\{ \frac{8ab}{\tau^2} + \frac{2}{\tau} [(b^2 - a^2) \Phi_3 + 2ab \Phi_4] - (b \Phi_1 + a \Phi_2) - a \right\} \frac{1}{z}$$

$$K_{45}^\circ = \frac{2a}{\tau^2} + \frac{b \Phi_3 + a \Phi_4}{\tau}, \quad K_{55}^\circ = \frac{\tau}{z} \Phi_3 - \lambda^2 \int_0^z (b \Phi_1 - a \Phi_2) dz, \quad a_2 = a = \sqrt{1 - b^2}$$

при $b^2 = 1$

$$L_{22}^\circ = (1 + \tau K_0') \frac{1}{z}, \quad L_{24}^\circ = \left(\frac{4}{\tau^2} + \frac{4}{\tau} K_0' - 2K_0 + \tau K_0' \right) \frac{1}{z}$$

$$L_{25}^\circ = -K_0, \quad K_{44}^\circ = \left(\frac{8}{\tau^2} + \frac{8}{\tau} K_0' - 4K_0 + \tau K_0' - 1 \right) \frac{1}{z}$$

$$K_{45}^\circ = \frac{2}{\tau^2} + \frac{2}{\tau} K_0' - K_0, \quad K_{55}^\circ = \lambda^2 \int_0^z K_0 dz, \quad K_0 = K_0(\tau), \quad K_0' = K_0'(\tau), \quad a_3 = 1$$

Ядра K_{11} , K_{13} и K_{33} приведены в [3]. Функции L_{ij}° непрерывны для всего множества действительных значений x, ξ .

Отметим, что при $\varepsilon \rightarrow 0$ ($G' \rightarrow \infty$) из систем интегральных уравнений (2.5) и (2.6) получим интегральные уравнения [4], соответствующие случаю, когда в качестве исходных приняты гипотезы Кирхгофа — Лява.

В дальнейшем для нахождения решений интегральных уравнений (2.5) и (2.6) воспользуемся приближенным методом, изложенным в [5].

Представляя искомые функции $\Psi_1(x)$ и $\Psi_3(x)$ в виде $\Psi_1(x) = F(x)/\sqrt{1-x^2}$, $\Psi_3(x) = \Phi(x)/\sqrt{1-x^2}$ в случае симметричной относительно линии трещины

нагрузки для определения коэффициентов интенсивности $K_1 = \lim_{r \rightarrow 0} \sqrt{2r} N_2$,

$K_3 = \lim_{r \rightarrow 0} \sqrt{2r} M_2$, где r — расстояние вдоль линии трещины от ее вершины,

получим формулы

$$K_1 = g \sum_{m=0}^{n-1} A_m, \quad K_3 = g R c (1 - \nu^2) \sum_{m=0}^{n-1} B_m, \quad A_m = \frac{2}{n} \sum_{\nu=1}^n F_\nu \cos m\theta_\nu,$$

$$B_m = \frac{2}{n} \sum_{\nu=1}^n \Phi_\nu \cos m\theta_\nu, \quad F_\nu = F(x_\nu), \quad \Phi_\nu = \Phi(x_\nu)$$

$$x_\nu = \cos \theta_\nu, \quad \theta_\nu = \frac{2\nu-1}{2n} \pi, \quad g = \frac{\sqrt{l}}{2}$$

Величины F_v и Φ_v находим из системы линейных алгебраических уравнений

$$\sum_{v=1}^n \alpha_{mv} F_v + \sum_{v=1}^n \beta_{mv} \Phi_v = \varphi_{1m} \quad (m=1,2,\dots,n), \quad \sum_{v=1}^n \beta_{mv} F_v + \sum_{v=1}^n \gamma_{mv} \Phi_v = \varphi_{3m}$$

$$\alpha_{mv} = \frac{1}{2n} [a_j R_{mv} + L_{11}^\circ (\cos \theta_m, \cos \theta_v)], \quad \beta_{mv} = \frac{1}{2n} L_{13} (\cos \theta_m, \cos \theta_v)$$

$$\gamma_{mv} = \frac{1}{2n} [(1-\nu^2) a_j R_{mv} + L_{33}^\circ (\cos \theta_m, \cos \theta_v)]$$

$$\varphi_{1m} = a_j N_{20}, \quad \varphi_{3m} = \frac{a_j}{Rc} M_{20}, \quad R_{mv} = \frac{1}{\sin \theta_m} \operatorname{ctg} \frac{\theta_m \mp \theta_v}{2}$$

Верхний знак берется в случае, когда число $|m-v|$ нечетно, а нижний — когда оно четно.

Приведенные формулы позволяют исследовать изменение коэффициентов интенсивности в зависимости от геометрических и упругих характеристик оболочки.

3. Рассмотрим бесконечную трансверсально-изотропную пластинку с прямолинейной трещиной $|x| \leq 1, y=0$, берега которой загружены самоуравновешивающимися усилиями и моментами. Для определения напряженно-деформированного состояния рассматриваемой пластинки ($R \rightarrow \infty$) из систем интегральных уравнений (2.5) и (2.6) получим следующие интегральные уравнения:

в случае плоского напряженного состояния

$$\int_{-1}^1 \Omega_i(\xi) K_i(x-\xi) d\xi = \frac{2\pi}{D_0} T_i(x), \quad |x| < 1 \quad (i=1,2) \quad (3.1)$$

$$\Omega_1(\xi) = \frac{d}{d\xi} \varepsilon_2(\xi), \quad \Omega_2(\xi) = \frac{d}{d\xi} \varepsilon_3(\xi), \quad K_1 = K_2 = \frac{1}{2(x-\xi)}$$

$$T_1(x) = N_{20}(x, 0), \quad T_2(x) = S_0(x, 0)$$

в случае изгиба при симметричной относительно линии трещины нагрузке

$$\int_{-1}^1 \Omega_3(\xi) K_3(x-\xi) d\xi = m T_3(x), \quad |x| < 1 \quad (3.2)$$

и в случае изгиба при антисимметричной нагрузке

$$\sum_{k=4,5} \int_{-1}^1 \Omega_k(\xi) K_{ik}(x-\xi) d\xi = m T_i(x), \quad |x| < 1 \quad (i=4,5) \quad (3.3)$$

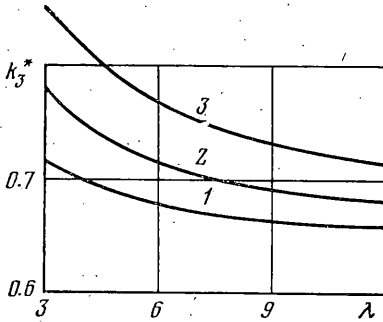
$$\Omega_3(\xi) = \frac{d}{d\xi} \kappa_2(\xi), \quad \Omega_4(\xi) = 2 \frac{d}{d\xi} \kappa_3(\xi), \quad \Omega_5(\xi) = \frac{1}{\varepsilon} \frac{d}{d\xi} \varepsilon_4(\xi)$$

$$K_3 = \frac{1-\nu^2}{2z} - 2\mu L_1, \quad K_{44} = \frac{1-\nu^2}{z} + 4\mu(L_1 + L_2)$$

$$K_{45} = -\frac{\varepsilon}{2} K_{54} = L_3, \quad K_{55} = \frac{1}{z} - L_4, \quad m = \frac{2\pi}{D_1}, \quad \mu = 1-\nu$$

$$T_3(x) = M_{20}(x, 0), \quad T_4(x) = H_0(x, 0), \quad T_5(x) = Q_{230}(x, 0)$$

Отметим, что в случае плоского напряженного состояния интегральные уравнения (3.1) полностью совпадают с интегральными уравнениями задачи для бесконечной изотропной пластинки с трещиной. В случае же изгиба вместо двух интегральных уравнений, полученных на базе теории Кирхгофа — Лява [6], имеем три интегральных уравнения (3.2) и (3.3), которые по структуре такие же, как и интегральные уравнения задачи для оболочки с трещиной.



В качестве примера рассмотрим пластинку с трещиной, когда к берегам ее приложены равномерно распределенные по длине растягивающее усилие N_2° и изгибающий момент M_2° . Поскольку задача о нахождении коэффициента интенсивности мембранных напряжений k_1 совпадает с классической,

ниже приведем формулы для определения коэффициента интенсивности изгибающих напряжений k_3 . Решая интегральное уравнение (3.2) обобщенным методом Мультоппа [5], получим

$$k_3 = M_2^\circ \sqrt{l} \sum_{j=1}^{n/2} A_{2j-1}, \quad A_{2j-1} = \frac{2}{n} \sum_{\nu=1}^{n/2} \Psi_{\nu^\circ} \cos(2j-1)\theta_\nu,$$

$$\Psi_{\nu^\circ} = -\frac{D_1(1-\nu^2)}{2M_2^\circ} \Omega_{\nu^\circ}, \quad \Omega_{\nu^\circ} = \Omega_0(x_\nu), \quad \Omega_0(x) = \sqrt{1-x^2} \Omega_3(x)$$

где n — четное число.

Величины Ψ_{ν° находим, решая систему линейных алгебраических уравнений

$$\sum_{\nu=1}^{n/2} \beta_{m\nu} \Psi_{\nu^\circ} = 1 \quad (m=1, 2, \dots, n/2)$$

$$\beta_{m\nu} = \frac{1}{2n} \left\{ \frac{1}{\sin \theta_m} \left(\operatorname{ctg} \frac{c_{m\nu}}{2} - \operatorname{ctg} \frac{d_{m\nu}}{2} \right) + \frac{4}{1+\nu} [K_1(u_{m\nu}) - K_2(t_{m\nu})] \right\}$$

$$K_1(u_{m\nu}) = \frac{K(u_{m\nu})}{\cos \theta_m - \cos \theta_\nu}, \quad K_2(t_{m\nu}) = \frac{K(t_{m\nu})}{\cos \theta_m + \cos \theta_\nu}$$

$$u_{m\nu} = \lambda k_0 |\cos \theta_m - \cos \theta_\nu|, \quad t_{m\nu} = \lambda k_0 (\cos \theta_m + \cos \theta_\nu)$$

$$K(y) = \frac{2}{y^2} + \frac{2}{y} K_0'(y) - K_0(y) - \frac{1}{2}, \quad \lambda = \frac{l}{h}$$

$$k_0 = \sqrt{6k'(1+\nu)} \frac{G'}{E}, \quad \theta_m = \frac{2m-1}{2n} \pi$$

$$c_{m\nu} = \theta_m - \theta_\nu, \quad d_{m\nu} = \theta_m + \theta_\nu - \pi, \quad \text{если } |m-\nu| \text{ нечетное}$$

$$c_{m\nu} = \theta_m + \theta_\nu, \quad d_{m\nu} = \theta_m - \theta_\nu + \pi, \quad \text{если } |m-\nu| \text{ четное}$$

Числовые расчеты проведены при $k'=5/6$, $\nu=0.3$ для трех значений параметра податливости пластинки на сдвиг E/G' , которые соответствуют реальным материалам.

На фигуре кривыми 1, 2, 3 изображены графики изменения относительного коэффициента интенсивности $k_3^* = k_3/M_2^\circ \sqrt{l}$ в зависимости от величины $\lambda = l/h$ для значений параметра $E/G' = 2, 6, 10, 40$ соответственно.

Как видно из графиков с увеличением параметра сдвиговой податливости E/G' , коэффициент интенсивности изгибающих напряжений возрастает.

ЛИТЕРАТУРА

1. Осадчук В. А., Подстригач Я. С. К определению напряженного состояния в замкнутой цилиндрической оболочке и бесконечной пластинке с трещинами. Изв. АН СССР. МТТ, 1973, № 3.
2. Пелех Б. Л. Теория оболочек с конечной сдвиговой жесткостью. Киев, «Наукова думка», 1973.
3. Осадчук В. А., Федюк Е. М. Интегральные уравнения задачи о напряженном состоянии трансверсально-изотропной пологой сферической оболочки с трещиной. Докл. АН УССР. Сер. А, 1975, № 2.
4. Подстригач Я. С., Осадчук В. А., Федюк Е. М., Николишин М. М. Метод дисторсий в теории тонких оболочек с трещинами. В сб.: Математические методы и физико-механические поля, вып. 1. Киев, «Наукова думка», 1975.
5. Каландия А. Н. Математические методы двумерной упругости. М., «Наука», 1973.
6. Williams M. L. The bending stress distribution at the base of a stationary crack, Trans. ASME. Ser. E. J. Appl. Mech., 1961, vol. 28, No. 1. (Рус. перев.: Тр. Америк. о-ва инж.-механ. Сер. Е, 1961, № 1).